



Laboratorium EMVO Sp. J. Urbański, Pawelak
ul. Jasna 1
00-013 Warszawa

tel. +48 22 780 29 64
e-mail: laboratorium@emvo.pl



AB 1630

Sprawozdanie z pomiarów pól elektromagnetycznych - środowisko ogólne nr 4/08/OŚ/2022– P4-W



Nr i nazwa stacji	LUB1096A	
Adres	Lublin, ul. Sulisławicka 7, woj. lubelskie	
Opracowanie		Specjalista ds. pomiarów
Autoryzacja		Kierownik Laboratorium
Podpis	Podpis jest prawidłowy Dokument podpisany przez [redacted] Data: 2022.08.05 08:11:43 CEST Powód: Zatwierdzam dokument	
Data	2022-08-04	

Spis treści

1. Informacje ogólne.....	3
2. Podstawa prawna.	3
3. Opis pomiarów.....	4
4. Zróżnicowanie dopuszczalne poziomy pól elektromagnetycznych.....	5
5. Charakterystyka źródeł PEM.....	5
6. Wyniki pomiarów.....	5
7. Stwierdzenie zgodności	6
8. Oświadczenie.....	9
9. Spis załączników.	9

1. Informacje ogólne.

Zleceniodawca	P4 sp. z o.o., ul. Wynałazek 1, 02-677 Warszawa osoba udzielająca informacji- [REDACTED]
Istotne informacje dostarczone przez klienta	komplet informacji niezbędnych do wykonania pomiarów i opracowania sprawozdania
Dane otrzymane od klienta mogące mieć wpływ na ważność wyników	Dane anten sektorowych, dane anten radioliniowych, parametry pracy instalacji, ustawienie pochylenia anten
Prowadzący instalację	P4 sp. z o.o., ul. Wynałazek 1, 02-677 Warszawa
Lokalizacja obiektu	Lublin, ul. Sulisławicka 7, woj. lubelskie
Miejsce instalacji anten	Dach budynku
Miejsce instalacji urządzeń	Outdoor
Osoby wykonujące pomiar	[REDACTED]
Data wykonania pomiaru	04.08.2022
Temperatura na początku pomiaru [°C]	27,0
Temperatura na koniec pomiaru [°C]	27,0
Warunki atmosferyczne	Brak opadów
Wilgotność na początku pomiaru [%]	43,0
Wilgotność na koniec pomiaru [%]	43,0
Godzina na początku pomiaru	11:56
Godzina na koniec pomiaru	12:37
Inne źródła pól elektromagnetycznych oznaczone na załączniku graficznym	Nie występują
Parametry pracy instalacji	Tryb eksploatacyjny

2. Podstawa prawna.

2.1 Normy i rozporządzenia:

- Rozporządzeniem Ministra Klimatu z dnia 17 lutego 2020 r. w sprawie sposobów sprawdzania dotrzymania dopuszczalnych poziomów pól elektromagnetycznych w środowisku (Dz.U. 2020 poz. 258)
- Rozporządzenie Ministra Zdrowia z dnia 17 grudnia 2019 r. w sprawie dopuszczalnych poziomów pól elektromagnetycznych w środowisku (Dz.U. 2019 poz. 2448)
- Obwieszczenie Marszałka Sejmu Rzeczypospolitej Polskiej z dnia 19 lipca 2019 r. w sprawie ogłoszenia jednolitego tekstu ustawy - Prawo ochrony środowiska (Dz.U. 2019 poz. 1396)
- Rozporządzenie Ministra Klimatu i Środowiska z dnia 6 maja 2022 r. zmieniające rozporządzenie w sprawie sposobów sprawdzania dotrzymywania dopuszczalnych poziomów pól elektromagnetycznych w środowisku (Dz.U. 2022 poz. 1121).

„Bez pisemnej zgody Laboratorium niniejsze sprawozdanie nie może być powielane inaczej, jak tylko w całości. Ponadto wyniki dotyczą tylko badanych obiektów przywołanych w niniejszym sprawozdaniu z badań”

3. Opis pomiarów

Metodologia pomiarowa	Pomiary w oparciu o Rozporządzeniem Ministra Klimatu z dnia 17 lutego 2020 r. w sprawie sposobów sprawdzania dotrzymania dopuszczalnych poziomów pól elektromagnetycznych w środowisku (Dz.U. 2020 poz. 258) oraz Rozporządzenie Ministra Klimatu i Środowiska z dnia 6 maja 2022 r. zmieniające rozporządzenie w sprawie sposobów sprawdzania dotrzymywania dopuszczalnych poziomów pól elektromagnetycznych w środowisku (Dz.U. 2022 poz. 1121).
Cel badań	Określenie wartości natężenia pola elektrycznego w miejscach dostępnych dla ludności.
Opis zestawu pomiarowego	Miernik Narda NBM 550, Sonda EF9091, o zakresie pomiarowym 0,7 V/m - 300V/m pracująca w paśmie 0,1 – 90 GHz, świadectwo wydane przez Laboratorium Wzorców i Metrologii Pola Elektromagnetycznego, Instytut Telekomunikacji, Teleinformatyki i Akustyki Politechniki Wrocławskiej. Świadectwo ważne do 10.06.2024r. Miernik Narda NBM 550, Sonda EF9091 pracująca w zakresie temperatury -10°C - +50°C oraz wilgotności 5% - 95%. Niepewność rozszerzona 38,6% przy poziomie ufności 95% z uwzględnieniem współczynnika rozszerzenia k=2.
Wyposażenie pomocnicze	Termohigrometr Bestone, typ: GM1362-EN-00, nr identyfikacyjny 1222436, świadectwo wzorcowania z dn. 03.04.2017r. wydane przez Laboratorium Pomiarowe "MUTECH". Przymiar wstęgowy STABILA, nr identyfikacyjny 5/WL/2016, świadectwo wzorcowania z dn. 06.09.2016 r. wydane przez Zespół Laboratoriów wzorcujących Okręgowego Urzędu Miar w Gdańsku. Dalmierz laserowy BOSH GLM 40, Świadectwo wzorcowania L4-L41.4180.141.2018.3061.1 z dnia 12 września 2018 wydane przez Pracownia Długości Samodzielnego Laboratorium Długości w Głównym Urzędzie Miar. GPS Garmin 64s okresowo sprawdzany w punktach osnowy geodezyjnej klasy 3 na podstawie licencji punktu, zgodnie z procedurą sprawdzeń okresowych IS/PO-16-11/03.
Pomiary zostały wykonane	<ol style="list-style-type: none">1. na głównych i pomocniczych kierunkach pomiarowych, na kierunkach zbliżonych do azymutów anten oraz w dodatkowych pionach pomiarowych zgodnie z wymaganiami pkt 12, 13, 14 i 19 Rozporządzenia Ministra Klimatu z dnia 17 lutego 2020 r. (Dz. U. 2020, poz. 258) oraz Rozporządzenia Ministra Klimatu i Środowiska z dnia 6 maja 2022 r. zmieniającego rozporządzenie w sprawie sposobów sprawdzania dotrzymywania dopuszczalnych poziomów pól elektromagnetycznych w środowisku (Dz.U. 2022 poz. 1121).2. na obszarze pomiarowym, dla którego, na podstawie uprzednio przeprowadzonych obliczeń stwierdzono w miejscach dostępnych dla ludności występowanie pól elektromagnetycznych o najwyższym poziomie, które pochodzą z badanej instalacji zgodnie z wymaganiami pkt 5 ppkt 2 oraz pkt 13 ppkt 1 Rozporządzenia Ministra Klimatu z dnia 17 lutego 2020 r. w sprawie sposobów sprawdzania dotrzymania dopuszczalnych poziomów pól elektromagnetycznych w środowisku (Dz. U. 2020, poz. 258) oraz Rozporządzenia Ministra Klimatu i Środowiska z dnia 6 maja 2022 r. zmieniającego rozporządzenie w sprawie sposobów sprawdzania dotrzymywania dopuszczalnych poziomów pól elektromagnetycznych w środowisku (Dz.U. 2022 poz. 1121). Wyniki obliczeń nie uwzględniały parametrów pracy instalacji innych operatorów występujących na obiekcie bądź w obszarze pomiarowym.3. w miejscach dostępnych dla ludności.4. miejsca niedostępne podczas wykonywania pomiarów wskazane zostały

„Bez pisemnej zgody Laboratorium niniejsze sprawozdanie nie może być powielane inaczej, jak tylko w całości. Ponadto wyniki dotyczą tylko badanych obiektów przywołanych w niniejszym sprawozdaniu z badań”

w pkt 6 (tabeli wyniki pomiarów).

Szczególne warunki podczas wykonywania pomiarów Pomiary wykonane zostały podczas obowiązywania w kraju stanu zagrożenia epidemicznego, zgodnie z art. 122a ust. 1b Ustawy z dnia 27 kwietnia 2001 r. – Prawo ochrony środowiska (Dz. U. z 2019 r. poz. 1396, z późn. zm.9)).

Warunki pracy urządzeń nadawczych Tryb pracy eksploatacyjny.

4. Zróżnicowanie dopuszczalne poziomy pól elektromagnetycznych.

Zakresy znajdują się w Dzienniku Ustaw z dnia 17 grudnia 2019 r. przedstawione są w tabeli nr 2 (Dz. U. z 2019r. poz. 2448).

Parametr fizyczny	Składowa elektryczna E (V/m)	Składowa magnetyczna H (A/m)	Gęstość mocy S (W/m ²)
Zakres Częstotliwości pola elektromagnetycznego			
od 400 MHz do 2000 MHz	$1,375 \times f^{0,5}$	$0,0037 \times f^{0,5}$	f / 200
od 2 GHz do 300 GHz	61	0,16	10

5. Charakterystyka źródeł PEM.

Zgodnie z informacją otrzymaną od Klienta pomiary zostały wykonane przy ustawieniach pochylenia anten zgodnych z pkt. 13, ppkt 2 Rozporządzenia Ministra Klimatu z dnia 17 lutego 2020 roku.

Tabela 1. Anteny sektorowe - dane otrzymane od klienta

Charakterystyka promieniowania		kierunkowa							
Rzeczywisty czas pracy [h/dobę]		24							
Rodzaj wytwarzanego pola		stacjonarne							
Lp	Wyszczególnienie	sektor 1							
I Nadajnik stacji bazowej:									
1	Typ / Producent	RBS / SRAN Ericsson							
2	Częstotliwość (pasmo) MHz	900	800	2600	2100	1800	2600	2100	1800
3	Maksymalna moc nadawana na sektor [dBm]	47,78	49,03	49,03	50	50	49,03	50	50
II Obciążenie:									
1	Typ anteny	Huawei ADU4516R6		Huawei ADU4518R6			Huawei ADU4518R6		
2	Producent anteny	Huawei		Huawei			Huawei		
3	Ilość anten	1		1			1		
4	Azymut	70							
5	Zakres kątów pochylenia anten [°]	0,00-10,00	0,00-10,00	0,00-12,00	0,00-12,00	0,00-12,00	0,00-12,00	0,00-12,00	0,00-12,00
6	Wysokość zainst. n.p.t. [m]	23,80		24,10			24,10		
7	EIRP [W]	4331		12116			12116		

Charakterystyka promieniowania		kierunkowa							
Rzeczywisty czas pracy [h/dobę]		24							
Rodzaj wytwarzanego pola		stacjonarne							
Lp	Wyszczególnienie	sektor 2							
I	Nadajnik stacji bazowej:								
1	Typ / Producent	RBS / SRAN Ericsson							
2	Częstotliwość (pasmo) MHz	900	800	2600	2100	1800	2600	2100	1800
3	Maksymalna moc nadawana na sektor [dBm]	47,78	49,03	49,03	50	50	49,03	50	50
II	Obciążenie:								
1	Typ anteny	Huawei ADU4516R6		Huawei ADU4518R6			Huawei ADU4518R6		
2	Producent anteny	Huawei		Huawei			Huawei		
3	Ilość anten	1		1			1		
4	Azymut	221							
5	Zakres kątów pochylecia anten [°]	0,00-10,00	0,00-10,00	0,00-12,00	0,00-12,00	0,00-12,00	0,00-12,00	0,00-12,00	0,00-12,00
6	Wysokość zainst. n.p.t. [m]	23,80		24,10			24,10		
7	EIRP [W]	4331		12116			12116		

Charakterystyka promieniowania		kierunkowa							
Rzeczywisty czas pracy [h/dobę]		24							
Rodzaj wytwarzanego pola		stacjonarne							
Lp	Wyszczególnienie	sektor 3							
I	Nadajnik stacji bazowej:								
1	Typ / Producent	RBS / SRAN Ericsson							
2	Częstotliwość (pasmo) MHz	900	800	2600	2100	1800	2600	2100	1800
3	Maksymalna moc nadawana na sektor [dBm]	47,78	49,03	49,03	50	50	49,03	50	50
II	Obciążenie:								
1	Typ anteny	Huawei ADU4516R6		Huawei ADU4518R6			Huawei ADU4518R6		
2	Producent anteny	Huawei		Huawei			Huawei		
3	Ilość anten	1		1			1		
4	Azymut	311							
5	Zakres kątów pochylecia anten [°]	0,00-10,00	0,00-10,00	0,00-12,00	0,00-12,00	0,00-12,00	0,00-12,00	0,00-12,00	0,00-12,00
6	Wysokość zainst. n.p.t. [m]	23,80		24,10			24,10		
7	EIRP [W]	4331		12116			12116		

Tabela 2. Anteny radioliniowe- dane otrzymane od klienta
Brak anten

6. Wyniki pomiarów.

Wyniki pomiarów pól elektromagnetycznych dla celów ochrony środowiska przedstawia poniższa tabela. Piony pomiarowe zostały przedstawione w zał. 2.

Nr PP	Pole-E [V/m]	Pole-E, +U [V/m]	Pole-H [A/m]	Pole-H +U [A/m]	Wys. pomiaru [m]	Opis pionu	Uwagi	WM _E	WM _H
1	1,5	2,08	0,004	0,006	0,3-2,0	N:51°13'41.1" E:22°35'41.4"	otoczenie stacji bazowej - 50m wzdłuż gł. osi promieniowania - GKP	0,074	0,076

„Bez pisemnej zgody Laboratorium niniejsze sprawozdanie nie może być powielane inaczej, jak tylko w całości. Ponadto wyniki dotyczą tylko badanych obiektów przywołanych w niniejszym sprawozdaniu z badań”

2	0,7*	1,11	0,002	0,003	0,3-2,0	N:51°13'42.2" E:22°35'47.3"	otoczenie stacji bazowej - 165m wzdłuż gł. osi promieniowania - GKP	0,040	0,040
3	0,7*	1,11	0,002	0,003	0,3-2,0	N:51°13'42.7" E:22°35'50.7"	otoczenie stacji bazowej - 245m wzdłuż gł. osi promieniowania - GKP	0,040	0,040
4	1,3	1,80	0,003	0,005	0,3-2,0	N:51°13'39.3" E:22°35'36.7"	otoczenie stacji bazowej - 50m wzdłuż gł. osi promieniowania - GKP	0,064	0,065
5	1,2	1,66	0,003	0,004	0,3-2,0	N:51°13'36.6" E:22°35'33.4"	otoczenie stacji bazowej - 150m wzdłuż gł. osi promieniowania - GKP	0,059	0,060
6	0,7*	1,11	0,002	0,003	0,3-2,0	N:51°13'35.6" E:22°35'31.4"	otoczenie stacji bazowej - 200m wzdłuż gł. osi promieniowania - GKP	0,040	0,040
7	1,4	1,94	0,004	0,005	0,3-2,0	N:51°13'41.6" E:22°35'36.9"	otoczenie stacji bazowej - 50m wzdłuż gł. osi promieniowania - GKP	0,069	0,071
8	1,0	1,39	0,003	0,004	0,3-2,0	N:51°13'42.6" E:22°35'35.4"	otoczenie stacji bazowej - 100m wzdłuż gł. osi promieniowania - GKP	0,050	0,050
9	0,7*	1,11	0,002	0,003	0,3-2,0	N:51°13'44.1" E:22°35'33.4"	otoczenie stacji bazowej - 150m wzdłuż gł. osi promieniowania - GKP	0,040	0,040
10	0,7*	1,11	0,002	0,003	0,3-2,0	N:51°13'45.2" E:22°35'31.4"	otoczenie stacji bazowej - 200m wzdłuż gł. osi promieniowania - GKP	0,040	0,040
11	0,7*	1,11	0,002	0,003	0,3-2,0	N:51°13'45.8" E:22°35'30.3"	otoczenie stacji bazowej - 245m wzdłuż gł. osi promieniowania - GKP	0,040	0,040
12	1,1	1,52	0,003	0,004	0,3-2,0	N:51°13'39.8" E:22°35'36.3"	otoczenie stacji bazowej - GKP	0,054	0,055
13	0,9	1,25	0,002	0,003	0,3-2,0	N:51°13'40.3" E:22°35'40.3"	otoczenie stacji bazowej - GKP	0,045	0,045
14	0,8	1,11	0,002	0,003	0,3-2,0	N:51°13'39.1" E:22°35'38.6"	otoczenie stacji bazowej - GKP	0,040	0,040
15	0,8	1,11	0,002	0,003	0,3-2,0	N:51°13'37.4" E:22°35'36.5"	otoczenie stacji bazowej - GKP	0,040	0,040
16	0,8	1,11	0,002	0,003	0,3-2,0	N:51°13'40.8" E:22°35'35.9"	otoczenie stacji bazowej - GKP	0,040	0,040
17	0,9	1,25	0,002	0,003	0,3-2,0	N:51°13'41.8" E:22°35'33.9"	otoczenie stacji bazowej - GKP	0,045	0,045
18	0,7*	1,11	0,002	0,003	0,3-2,0	N:51°13'42.6" E:22°35'36.8"	otoczenie stacji bazowej - GKP	0,040	0,040
19	1,1	1,52	0,003	0,004	0,3-2,0	N:51°13'41.5" E:22°35'39.2"	otoczenie stacji bazowej - GKP	0,054	0,055
20	1,2	1,66	0,003	0,004	0,3-2,0	N:51°13'41.6" E:22°35'41.0"	otoczenie stacji bazowej - GKP	0,059	0,060
A	2,1	2,91	0,006	0,008	0,3-2,0	N:51°13'40.3" E:22°35'39.1"	Sulisławicka 7, pomiar przed budynkiem -DPP	0,104	0,106
B	1,0	1,39	0,003	0,004	0,3-2,0	N:51°13'41.1" E:22°35'37.3"	Sulisławicka 7, pomiar przed budynkiem -DPP	0,050	0,050
C	0,9	1,25	0,002	0,003	0,3-2,0	N:51°13'39.3" E:22°35'39.9"	Niemcewiczka 2, pomiar przed bramą -DPP	0,045	0,045
D	0,8	1,11	0,002	0,003	0,3-2,0	N:51°13'39.5" E:22°35'40.0"	Sulisławicka 18, pomiar przed bramą -DPP	0,040	0,040
E	0,9	1,25	0,002	0,003	0,3-2,0	N:51°13'40.3" E:22°35'40.8"	Sulisławicka 16, pomiar przed bramą -DPP	0,045	0,045
F	1,7	2,36	0,005	0,006	0,3-2,0	N:51°13'40.6" E:22°35'41.4"	Żmichowskiej 1, pomiar przed bramą -DPP	0,084	0,086
G	0,9	1,25	0,002	0,003	0,3-2,0	N:51°13'40.3" E:22°35'42.7"	Żmichowskiej 3, pomiar przed bramą -DPP	0,045	0,045
	0,9	1,25	0,002	0,003	0,3-2,0		Żmichowskiej 5, pomiar przed bramą -DPP	0,045	0,045
H	0,7*	1,11	0,002	0,003	0,3-2,0	N:51°13'40.2" E:22°35'43.6"	Żmichowskiej 7, pomiar przed bramą -DPP	0,040	0,040
I	0,7*	1,11	0,002	0,003	0,3-2,0	N:51°13'40.3" E:22°35'43.9"	Żmichowskiej 8, pomiar przed bramą -DPP	0,040	0,040
	0,7*	1,11	0,002	0,003	0,3-2,0		Żmichowskiej 8a, pomiar przed bramą -DPP	0,040	0,040
J	0,7*	1,11	0,002	0,003	0,3-2,0	N:51°13'40.5" E:22°35'43.2"	Żmichowskiej 6, pomiar przed bramą -DPP	0,040	0,040
	0,7*	1,11	0,002	0,003	0,3-2,0		Żmichowskiej 4, pomiar przed bramą -DPP	0,040	0,040
K	0,7*	1,11	0,002	0,003	0,3-2,0	N:51°13'41.5" E:22°35'41.7"	Sulisławicka 12, pomiar przed bramą -DPP	0,040	0,040

„Bez pisemnej zgody Laboratorium niniejsze sprawozdanie nie może być powielane inaczej, jak tylko w całości. Ponadto wyniki dotyczą tylko badanych obiektów przywołanych w niniejszym sprawozdaniu z badań”

L	0,7*	1,11	0,002	0,003	0,3-2,0	N:51°13'42.1" E:22°35'42.3"	Sulisławicka 10, pomiar przed bramą -DPP	0,040	0,040
M	0,7*	1,11	0,002	0,003	0,3-2,0	N:51°13'42.2" E:22°35'46.7"	Dulęby 23, pomiar przed bramą -DPP	0,040	0,040
N	0,7*	1,11	0,002	0,003	0,3-2,0	N:51°13'42.4" E:22°35'48.6"	Dulęby 22, pomiar przed bramą -DPP	0,040	0,040
O	0,7*	1,11	0,002	0,003	0,3-2,0	N:51°13'43.1" E:22°35'50.9"	Majdanka 65, pomiar przed bramą -DPP	0,040	0,040
P	1,1	1,52	0,003	0,004	0,3-2,0	N:51°13'42.5" E:22°35'41.3"	Sulisławicka 5, pomiar przed bramą -DPP	0,054	0,055
R	1,0	1,39	0,003	0,004	0,3-2,0	N:51°13'42.2" E:22°35'38.8"	Sulisławicka 5a, pomiar przed bramą -DPP	0,050	0,050
S	0,7*	1,11	0,002	0,003	0,3-2,0	N:51°13'37.7" E:22°35'41.4"	Niemcewiczka 3, pomiar przed bramą -DPP	#ARG!	#ARG!
T	0,7*	1,11	0,002	0,003	0,3-2,0	N:51°13'37.3" E:22°35'38.3"	Sulisławicka 24, pomiar przed bramą -DPP	#ARG!	#ARG!
U	1,1	1,52	0,003	0,004	0,3-2,0	N:51°13'37.0" E:22°35'34.7"	Tetmajera-Przerwy 17, pomiar przed bramą -DPP	0,054	0,055
W	1,0	1,39	0,003	0,004	0,3-2,0	N:51°13'36.3" E:22°35'32.5"	Kossaka 80, pomiar przed bramą -DPP	0,050	0,050
	0,9	1,25	0,002	0,003	0,3-2,0		Kossaka 78, pomiar przed bramą -DPP	0,045	0,045
V	0,8	1,11	0,002	0,003	0,3-2,0	N:51°13'36.0" E:22°35'31.3"	Kossaka 76, pomiar przed bramą -DPP	0,040	0,040
	0,7*	1,11	0,002	0,003	0,3-2,0		Kossaka 74, pomiar przed bramą -DPP	0,040	0,040
X	0,7*	1,11	0,002	0,003	0,3-2,0	N:51°13'35.8" E:22°35'30.2"	Kossaka 81, pomiar przed bramą -DPP	0,040	0,040
	0,7*	1,11	0,002	0,003	0,3-2,0		Kossaka 83, pomiar przed bramą -DPP	0,040	0,040
Y	0,7*	1,11	0,002	0,003	0,3-2,0	N:51°13'35.4" E:22°35'29.7"	Kossaka 77, pomiar przed bramą -DPP	0,040	0,040
	0,7*	1,11	0,002	0,003	0,3-2,0		Kossaka 79, pomiar przed bramą -DPP	0,040	0,040
Z	0,7*	1,11	0,002	0,003	0,3-2,0	N:51°13'35.6" E:22°35'30.7"	Kossaka 85, pomiar przed bramą -DPP	0,040	0,040
	0,7*	1,11	0,002	0,003	0,3-2,0		Kossaka 87, pomiar przed bramą -DPP	0,040	0,040
A1	0,7*	1,11	0,002	0,003	0,3-2,0	N:51°13'44.1" E:22°35'41.2"	Dulęby 13a, pomiar przed bramą -DPP	0,040	0,040
B1	0,7*	1,11	0,002	0,003	0,3-2,0	N:51°13'44.0" E:22°35'34.3"	Kosmonautów 88, pomiar przed bramą -DPP	0,040	0,040
C1	0,7*	1,11	0,002	0,003	0,3-2,0	N:51°13'45.7" E:22°35'30.2"	Kosmonautów 86, pomiar przed bramą -DPP	0,040	0,040
D1	0,7*	1,11	0,002	0,003	0,3-2,0	N:51°13'42.4" E:22°35'45.6"	Dulęby 21, pomiar przed bramą -DPP	0,040	0,040
E1	0,7*	1,11	0,002	0,003	0,3-2,0	N:51°13'38.3" E:22°35'41.3"	Niemcewiczka 4, pomiar przed bramą -DPP	0,040	0,040
	0,7*	1,11	0,002	0,003	0,3-2,0		Niemcewiczka 4a, pomiar przed bramą -DPP	0,040	0,040
F1	0,7*	1,11	0,002	0,003	0,3-2,0	N:51°13'38.2" E:22°35'41.7"	Niemcewiczka 6, pomiar przed bramą -DPP	0,040	0,040
	0,7*	1,11	0,002	0,003	0,3-2,0		Niemcewiczka 6a, pomiar przed bramą -DPP	0,040	0,040
G1	Brak dostępu – pomieszczenia gospodarcze								
H1	Brak dostępu – teren ogrodzony								

Wynik pomiaru pole - E [V/m] - maksymalna wartość chwilowa zmierzona w danym pionie pomiarowym (uśredniona na podstawie punktu 11 Rozporządzenia Ministra Zdrowia).

Przyjęto najniższą dopuszczalną wartość składowej elektrycznej pola dla objętego pomiarami zakresu częstotliwości $\min(ME_{gr})= 28 \text{ V/m}$ oraz składowej magnetycznej $\min(MH_{gr})= 0,073 \text{ A/m}$.

* - wartość zmierzona poniżej zakresu akredytacji. Do obliczeń przyjęto wartość zgodną z dolną granicą akredytowanego zakresu pomiarowego metody.

GKP - główne kierunki pomiarowe

PKP - pomocnicze kierunki pomiarowe

„Bez pisemnej zgody Laboratorium niniejsze sprawozdanie nie może być powielane inaczej, jak tylko w całości. Ponadto wyniki dotyczą tylko badanych obiektów przywołanych w niniejszym sprawozdaniu z badań”

4/08/OŚ/2022- P4-W

Strona 8 z 12

DPP - dodatkowe punkty pomiarowe

PP - pion pomiarowy

U - niepewność pomiarowa rozszerzona, przy poziomie ufności 95%, z uwzględnieniem współczynnika rozszerzenia $k=2$

WM_E - wartość wskaźnikowa poziomu emisji pól elektromagnetycznych dla miejsc dostępnych dla ludności dla składowej elektrycznej pola

WM_H - wartość wskaźnikowa poziomu emisji pól elektromagnetycznych dla miejsc dostępnych dla ludności dla składowej magnetycznej pola

7. Stwierdzenie zgodności

Na podstawie wytycznych podanych w Rozporządzeniu Ministra Zdrowia z dnia 17 grudnia 2019 r. w sprawie dopuszczalnych poziomów pól elektromagnetycznych w środowisku (Dz.U. 2019 poz. 2448) oraz sposobów sprawdzania dotrzymania tych poziomów zgodnie z Rozporządzeniem Ministra Klimatu z dnia 17 lutego 2020 r. w sprawie sposobów sprawdzania dotrzymania dopuszczalnych poziomów pól elektromagnetycznych w środowisku (Dz.U. 2020 poz. 258) oraz Rozporządzeniem Ministra Klimatu i Środowiska z dnia 6 maja 2022 r. zmieniającego rozporządzenie w sprawie sposobów sprawdzania dotrzymania dopuszczalnych poziomów pól elektromagnetycznych w środowisku (Dz.U. 2022 poz. 1121), dotyczących źródła wymagań, które muszą być spełnione, w oparciu o zasadę podejmowania decyzji zgodną z pkt 26 Rozporządzenia Ministra Klimatu z dnia 17 lutego 2020 r. (Dz.U. 2020 poz. 258), na podstawie wyników pomiarów pól elektromagnetycznych wykonanych w dniu 04.08.2022 stwierdzono, iż w miejscach dostępnych dla ludności, dopuszczalne poziomy pól elektromagnetycznych w środowisku, określone w przepisach wydanych na podstawie art. 122 ust. 1 ustawy z dnia 27 kwietnia 2001 r. – Prawo ochrony środowiska, uznaje się za dotrzymane w obszarze pomiarowym, w którym w wyniku zastosowania sposobu sprawdzenia dotrzymania dopuszczalnych poziomów pól elektromagnetycznych w środowisku, udokumentowano, że żadna z wartości wskaźnikowych nie przekracza wartości 1.

8. Oświadczenie.

Wyniki badania odnoszą się wyłącznie do badanego obiektu.

Bez pisemnej zgody sprawozdanie nie może być powielane inaczej, jak tylko w całości.

Uwagi i zastrzeżenia przyjmowane są w formie pisemnej w ciągu 14 dni od daty otrzymania sprawozdania.

9. Spis załączników.

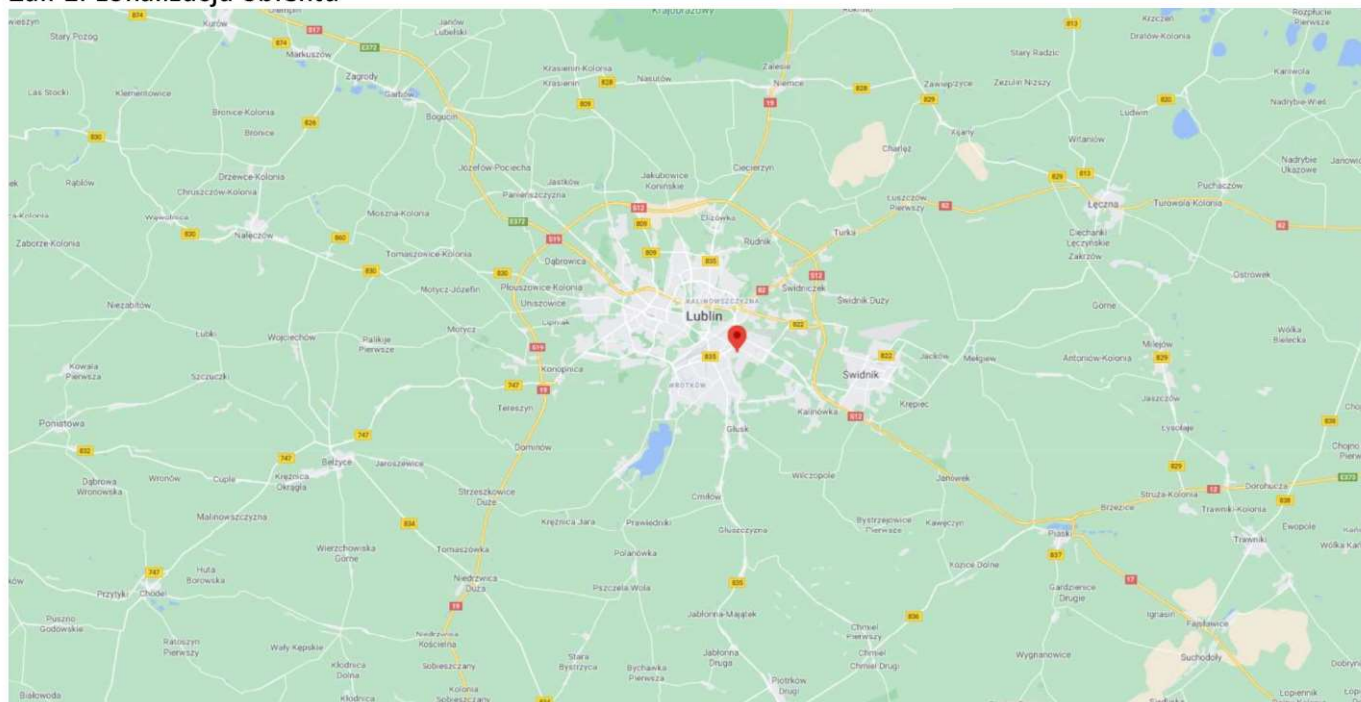
Zał. 1. Lokalizacja obiektu.

Zał. 2. Widok pionów pomiarowych

Zał. 3. Załączniki graficzne

Koniec sprawozdania

Zał. 1. Lokalizacja obiektu




Współrzędne geograficzne	
długość:	22°35'38.54"E
szerokość:	51°13'40.35"N


Załącznik 2. Widok pionów pomiarowych



LEGENDA:

 inna instalacja radiokomunikacyjna

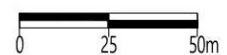
 brak dostępu

 pion pomiaru

 antena sektorowa

 antena radioliowa

Skala:1:3000



„Bez pisemnej zgody Laboratorium niniejsze sprawozdanie nie może być powielane inaczej, jak tylko w całości. Ponadto wyniki dotyczą tylko badanych obiektów przywołanych w niniejszym sprawozdaniu z badań”

4/08/OŚ/2022– P4-W

Strona 11 z 12

Załącznik 3. Załączniki graficzne.

